

Fe²⁺ 对 UASB 厌氧发酵效能的影响研究

高 雅^{1,2}, 黄显怀^{1,2}, 李卫华^{1,2}, 田士玉^{1,2}, 尹 力^{1,2}, 汪立寒^{1,2}

(1. 安徽建筑大学 环境与能源工程学院, 安徽 合肥 230601; 2. 安徽建筑大学 水污染控制
与废水资源化安徽省重点实验室, 安徽 合肥 230601)

摘要: 以蔗糖为底物, 通过 UASB 反应器外加铁源的对照试验, 研究了 Fe²⁺ 在 7~15 mg/L 的范围内对厌氧发酵过程的影响。结果表明, Fe²⁺ 对厌氧发酵有一定的促进作用。随着 Fe²⁺ 浓度的升高, COD 去除率由 86.3% 提高至 90.6%。厌氧发酵受抑制时, Fe²⁺ 浓度较高的 UASB 推迟发生严重酸化的时间。经测定 UASB 反应器出水的铁含量始终小于 1 mg/L。进水 Fe²⁺ 浓度降低后, 厌氧污泥中的铁含量也随之降低。对荧光光谱图的解析表明, 随着 Fe²⁺ 浓度的增加, 出水中类蛋白、辅酶 F₄₂₀ 和类胡敏酸的荧光强度显著增强, 且解析得到的色氨酸、酪氨酸、辅酶 NADH 和辅酶 F₄₂₀ 的荧光强度得分均有所提高。

关键词: Fe²⁺; UASB; 厌氧发酵效能; 三维荧光光谱

中图分类号: X703 **文献标识码:** C **文章编号:** 1000-4602(2017)11-0059-05

Effects of Ferrous Ion on Anaerobic Fermentation Capacity of UASB Reactor

GAO Ya^{1,2}, HUANG Xian-huai^{1,2}, LI Wei-hua^{1,2}, TIAN Shi-yu^{1,2}, YIN Li^{1,2},
WANG Li-han^{1,2}

(1. School of Environment and Energy Engineering, Anhui Jianzhu University, Hefei 230601, China;
2. Anhui Key Laboratory of Water Pollution Control and Wastewater Reuse, Anhui Jianzhu University,
Hefei 230601, China)

Abstract: Using sucrose as a substrate, the effect of Fe²⁺ (ranging from 7 to 15 mg/L) in anaerobic fermentation was studied by control experiments of iron addition in upflow anaerobic sludge blanket (UASB) reactor. The results showed that Fe²⁺ could enhance the anaerobic fermentation. The removal of COD was improved from 86.3% to 90.6% with an increase in Fe²⁺ concentration. When the anaerobic fermentation process was inhibited, severe acidification was postponed in the UASB with a higher concentration of Fe²⁺. The concentration of iron in the effluent of the UASB reactor was always less than 1 mg/L. Iron content in the sludge declined with the decrease of the Fe²⁺ concentration in influent. Adding Fe²⁺ led to the enhancement of fluorescence intensity of protein, coenzyme F₄₂₀, and humic acids. The fluorescence intensity of tryptophan, tyrosine, coenzyme F₄₂₀ and coenzyme NADH were also intensified through analyzing fluorescence spectra results.

Key words: ferrous ion; UASB; anaerobic fermentation capacity; three-dimensional fluorescence spectrum

UASB 具有容积负荷高、能耗低、产泥量少等特点,成为处理高浓度有机废水的首选工艺。深入研究影响 UASB 效率的因素,对进一步优化厌氧发酵工艺具有推动作用。Vlyssides 等^[1]研究证实 Fe^{2+} 能显著促进 UASB 反应器内部颗粒污泥的形成。Lin 等^[2]投加零价铁(ZVI)于 UASB 反应器中,发现氯代硝基苯的还原转化和脱氮效率提高。

对于铁在厌氧发酵过程中的作用,多数学者的着眼点集中在粒径、有机负荷、水力停留时间(HRT)等方面^[3],较少从荧光光谱和铁元素含量方面进行研究。因此,笔者通过三维荧光光谱对 UASB 反应器的出水水样进行表征,并结合常规指标,深入探讨 Fe^{2+} 对厌氧发酵效能的影响。

1 试验部分

1.1 试验装置

UASB 反应器由有机玻璃加工而成,内设气、液、固三相分离器,反应区有效体积为 2.0 L,沉降区体积为 2.5 L。反应器由恒温水浴夹层和温度控制装置维持恒温。反应器的厌氧污泥为已驯化成熟的活性污泥,污泥量占反应器有效容积的 30%,污泥浓度为 7.1 g/L,水力停留时间为 19 h。

反应器进水为人工配制的蔗糖溶液,进水中加入 NaHCO_3 以维持反应器正常运行所需的碱度。反应器进水贮存于 4 ℃ 的冰柜中。进水中常量元素和微量元素的种类和浓度如下: $\text{K}_2\text{HPO}_4 \cdot 3\text{H}_2\text{O}$ 、 CaCl_2 、 $\text{MgCl}_2 \cdot 6\text{H}_2\text{O}$ 、 $\text{FeCl}_2 \cdot 4\text{H}_2\text{O}$ 、 NaCl 、 $\text{CoCl}_2 \cdot 6\text{H}_2\text{O}$ 、 $\text{MnCl}_2 \cdot 4\text{H}_2\text{O}$ 、 AlCl_3 、 $(\text{NH}_4)_6\text{Mo}_7\text{O}_{24}$ 、 H_3BO_4 、 $\text{NiCl}_2 \cdot 6\text{H}_2\text{O}$ 、 $\text{CuCl}_2 \cdot 5\text{H}_2\text{O}$ 、 ZnCl_2 分别为 155、50、100、25、10、5、5、2.5、15、5、5、5 mg/L。

试验采用两组 UASB 反应器同时进行,分别设置为试验组和对照组。试验期间,试验组进水物质浓度变化情况如图 1 所示。

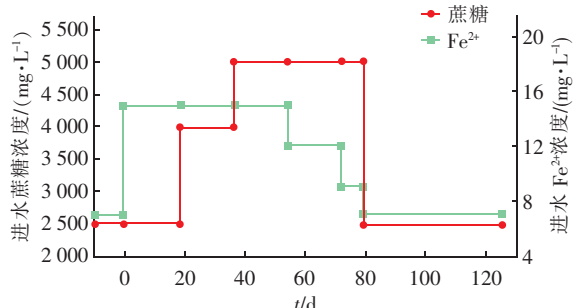


图 1 试验期间进水物质浓度的变化

Fig. 1 Variation of influent quality during experiment

为确保单一变量原则,对照组的进水 Fe^{2+} 浓度始终保持初始浓度 7 mg/L,其他条件的变化与试验组保持一致。试验前,两组反应器的运行状态一致:进水蔗糖浓度为 2 500 mg/L,出水 COD 浓度在 430 mg/L 左右,出水糖浓度在 15 mg/L 左右,出水 pH 值为 7.5。

1.2 试验方法

反应器出水经 12 000 r/min 离心 5 min 后,进行相关指标分析以及荧光测定。COD:重铬酸钾法; pH 值:HQ30d 型 pH 仪;三维荧光光谱:F-7000 型荧光光谱仪。

反应器出水铁元素含量:水样经 0.45 μm 滤膜过滤后直接由 ICP Optima 8000 测定;厌氧污泥中铁元素含量:厌氧污泥采用四酸消解法^[4]消解完全,将剩余液体稀释 10⁴ 倍后用 ICP Optima 8000 测定。

2 结果与讨论

2.1 Fe^{2+} 对出水 COD 和 pH 值的影响

不同 Fe^{2+} 浓度下 COD 去除率的变化见图 2。

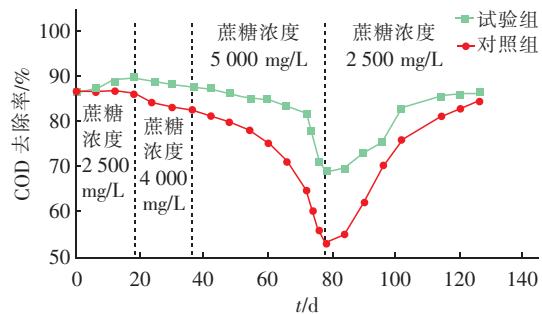


图 2 不同 Fe^{2+} 浓度下 COD 去除率的变化

Fig. 2 Removal rate of COD under different Fe^{2+} concentration

相比于对照组,试验组对 COD 的去除效果更好。当试验组进水 Fe^{2+} 浓度由 7 mg/L 增至 15 mg/L 时,COD 去除率由 86.3% 增至 90.6%,说明在一定程度上提高 Fe^{2+} 浓度能促进厌氧微生物对底物蔗糖的降解。随着进水蔗糖浓度的提高,两组反应器的 COD 去除率均呈下降趋势,试验组和对照组分别在 43 和 32 d 后,出水 pH 值降至 5.3,反应器严重酸化。降低试验组的进水 Fe^{2+} 浓度,过高的有机负荷成为 COD 去除率下降的主要原因,因此 Fe^{2+} 浓度的降低对 UASB 的影响在本试验中并没有明确体现。降低进水负荷后,COD 去除率逐渐回升,UASB 降解底物蔗糖的能力逐渐恢复。

铁是厌氧微生物所必需的微量元素,大量存在

于酶系统中^[5]。有机物进入厌氧体系后,微生物通过水解作用将有机大分子转化为易降解的小分子物质。 Fe^{2+} 浓度的提高对增强微生物活性、提高降解有机物的效率有促进作用。这与彭彬等^[6]所报道的铁刨花在 UASB 中形成的 Fe^{2+} 能降低出水 COD 浓度的情况基本一致。

有机负荷过高,导致酸类物质大量生成,而产甲烷菌比其他菌群对胞外环境更为敏感,因此严重酸化的环境抑制了产甲烷菌的活性。相比于对照组,试验组发生酸化的时间推迟了 11 d,其原因在于铁存在于产甲烷酶系的活性中心,能促进产甲烷进程^[7],因此 Fe^{2+} 能延缓厌氧发酵体系的酸化。

2.2 Fe^{2+} 在污泥中的累积作用

在试验浓度范围内,反应器的出水铁含量较为稳定,其测定结果均不超过 1 mg/L。待反应器运行 80 d 后,将试验组和对照组的活性污泥分别取出进行铁元素含量的测定,结果分别为 24 772.6、15 630.4 mg/kg。反应器运行 124 d 后,再次进行试验组活性污泥的测定,其结果为 16 096.9 mg/kg。研究结果表明, Fe^{2+} 进入厌氧体系后,小部分随着反应器的出水流失,绝大部分在厌氧污泥中富集。在厌氧颗粒污泥中,铁能够形成硫化铁沉淀,而硫化铁具有很好的表面张力,可被吸附在细菌表面^[5,7]。进水 Fe^{2+} 浓度降低后,污泥中的铁含量也随之降低,由此推测厌氧污泥中的铁含量可能与进水 Fe^{2+} 浓度呈正相关。

2.3 UASB 出水三维荧光光谱和平行因子法解析

试验组和对照组在不同运行状态下的出水荧光光谱见图 3。

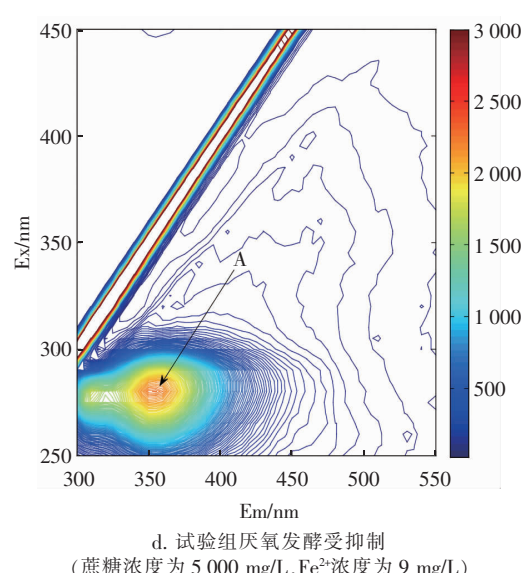
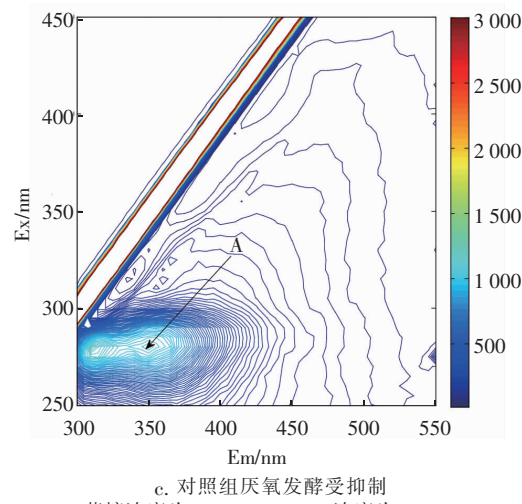
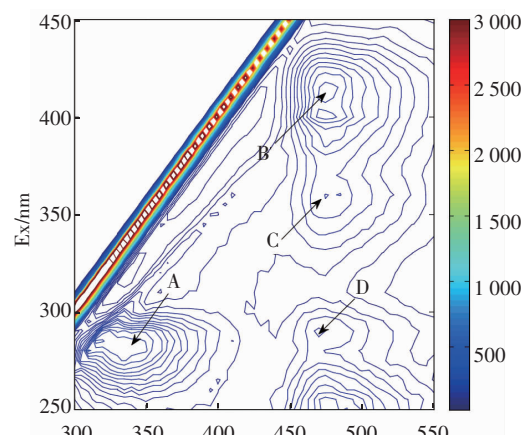
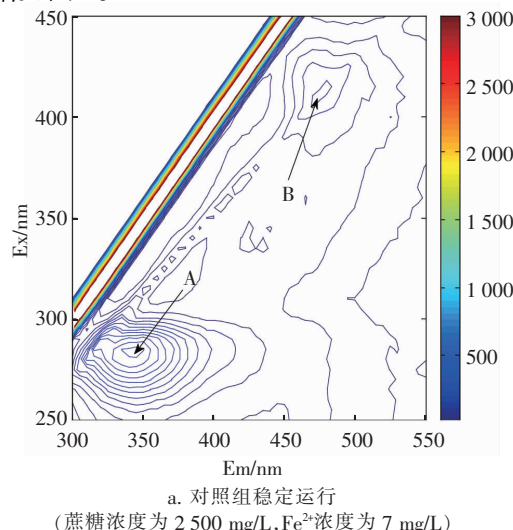


图 3 试验组和对照组在不同运行状态下的荧光光谱

Fig. 3 Fluorescence spectrum of experiment group and control group at different phase

在反应器监测方面,荧光光谱提供了一种快速、准确的分析手段,对于每种荧光物质,都有其特定的光谱信息^[8]。对照组的荧光光谱图中出现荧光峰A、B,其荧光贡献分别为类蛋白和辅酶F₄₂₀,其激发和发射波长分别为Ex/Em = 280/340 nm 和 Ex/Em = 420/470 nm,见图3(a)。进水成分为蔗糖和无机盐,因此出水中的类蛋白来源于微生物自身的新陈代谢。辅酶F₄₂₀是产甲烷菌特有的产物,主要产生于厌氧发酵过程中的产甲烷阶段^[9]。提高Fe²⁺浓度后,荧光光谱图中出现荧光峰C和D,其中心位置分别为Ex/Em = 360/475 nm 和 Ex/Em = 290/470 nm,荧光贡献均为类胡敏酸^[10],见图3(b)。图3(c)、(d)为两组反应器厌氧发酵受抑制时的荧光光谱,进水有机负荷的冲击导致大量微生物衰亡裂解,蛋白类物质大量增加,厌氧发酵失败。

平行因子分析法是解析三维荧光光谱的常规方法,重叠部分的荧光基团被分解,光谱信息被转化为各主成分的三维荧光光谱及荧光强度得分图,对各组分进行定性分析和半定量分析^[8]。试验组出水用平行因子法分析得到的各主成分荧光光谱见图4。对照组稳定运行时的出水经解析得到3种主成分:色氨酸、辅酶F₄₂₀和辅酶NADH,而试验组出水另解析出主成分酪氨酸。色氨酸和酪氨酸均属类蛋白^[11],其荧光位置分别为Ex/Em = 280/340 nm 和 Ex/Em = 275/310 nm。辅酶F₄₂₀的荧光位置为Ex/Em = 420/480 nm。辅酶NADH的荧光位置为Ex/Em = 320/420 nm,主要参与生物氧化过程,起传递电子的作用^[10]。

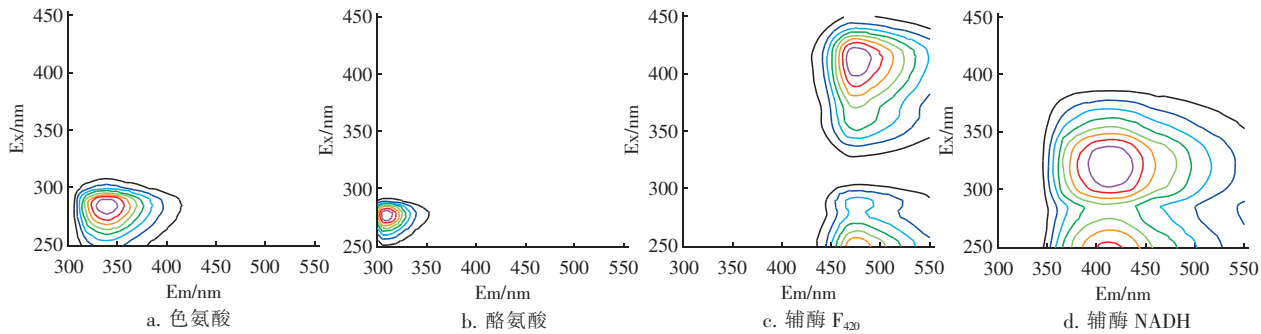


图4 试验组出水用平行因子法分析得到的各主成分荧光光谱

Fig. 4 Fluorescence spectrum of principal components of experiment group effluent decomposed by PARAFAC method

将各主成分的荧光强度得分进行平均整理得到

图5。

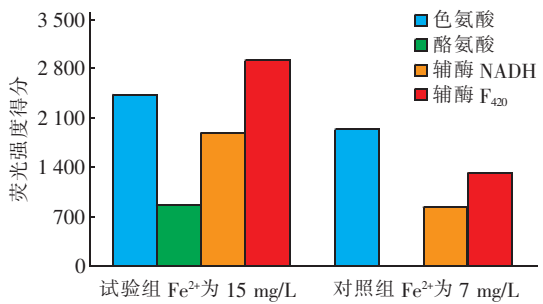


图5 稳定运行的两组反应器在相同蔗糖浓度、不同Fe²⁺浓度下各组分荧光强度得分

Fig. 5 Fluorescence intensity score of main components of experiment group and control group with same sucrose concentration and different Fe²⁺ concentration in steady operation stage

Fe²⁺浓度升高,各组分的荧光强度得分均明显增加,其中酪氨酸组分从无到有,说明Fe²⁺促进了

厌氧发酵过程中各阶段的进程,且对代谢过程中产酪氨酸途径影响较大。反应器严重酸化时,荧光物质以类蛋白为主,且荧光强度得分均在15 000左右。有机负荷的冲击导致微生物代谢受抑制,细胞衰亡裂解,胞内物质大量流出,因此蛋白类物质的荧光强度大幅增强。此后降低蔗糖浓度,厌氧发酵性能逐渐恢复,各组分的荧光强度也随之增强。

3 结论

① 当Fe²⁺浓度由7 mg/L增加至15 mg/L时,COD去除率由86.3%提高至90.6%。外加Fe²⁺有利于高浓度有机物导致的UASB酸化延缓,使得厌氧反应器具有较好的短时抗冲击负荷能力。

② UASB外加铁源后,绝大部分铁元素在厌氧污泥中富集,少量随反应器出水排出。进水Fe²⁺浓度下降,厌氧污泥中铁含量也随之降低。

③ 进水Fe²⁺浓度增加后,出水中各荧光物质(类蛋白、辅酶F₄₂₀和类胡敏酸)的荧光强度明显增

强,且各主成分(色氨酸、酪氨酸、辅酶F₄₂₀和辅酶NADH)的荧光强度得分提高。

参考文献:

- [1] Vlyssides A, Barampouti E M, Mai S. Influence of ferrous iron on the granularity of a UASB reactor [J]. Chem Eng J, 2009, 146(1):49–56.
- [2] Lin H Z, Zhu L, Xu X Y, et al. Reductive transformation and dechlorination of chloronitrobenzenes in UASB reactor enhanced with zero-valent iron addition [J]. J Chem Technol Biotechnol, 2011, 86(2):290–298.
- [3] Zhang Y B, Jing Y W, Zhang J X, et al. Performance of a ZVI-UASB reactor for azo dye wastewater treatment [J]. J Chem Technol Biotechnol, 2011, 86(2):199–204.
- [4] 国家环境保护总局. 水和废水监测分析方法(第4版)[M]. 北京:中国环境科学出版社,2002.
- [5] 张万钦,吴树彪,郎乾乾,等. 微量元素对沼气厌氧发酵的影响[J]. 农业工程学报,2013,29(10):1–11.
- [6] 彭彬,刘燕,张旭栋. 铁刨花对上流式厌氧污泥床反应器室温下处理城镇污水的影响[J]. 复旦学报:自然科学版,2008,47(3):398–402.
- [7] 贺延龄. 废水的厌氧生物处理[M]. 北京:中国轻工业出版社,1998.
- [8] 李卫华,盛国平,陆锐,等. 厌氧产甲烷受抑制过程的三维荧光光谱解析[J]. 光谱学与光谱分析,2011,31(8):2131–2135.
- [9] 方晓瑜,李家宝,芮俊鹏,等. 产甲烷生化代谢途径研
究进展[J]. 应用与环境生物学报,2015,21(1):1–9.
- [10] 李卫华,盛国平,王志刚,等. 废水生物处理反应器出水的三维荧光光谱解析[J]. 中国科学技术大学学报,2008,38(6):601–608.
- [11] Ni B J, Fang F, Xie W M, et al. Characterization of extracellular polymeric substances produced by mixed microorganisms in activated sludge with gel-permeating chromatography, excitation-emission matrix fluorescence spectroscopy measurement and kinetic modeling [J]. Water Res, 2009, 43(5):1350–1358.



作者简介:高雅(1991—),女,安徽宿州人,硕士研究生,从事水处理理论与技术研究。

E-mail:gao6767@126.com

收稿日期:2016-12-23

**提高水源利用效率
减少生态环境污染
促进持续稳定发展**